TÍTULO DE LA PRESENTACIÓN DEL TRABAJO

Daniel Machado Daniel Toledo Osvaldo Moreno José A. Concepción Adrián Navarro C211

Mayo 2023

Defensa del proyecto final.

Facultad Matemática Computación
Universidad de La Habana

Temas a tratar

- 1 Introducción
- 2 Modelo Propuesto
- Modelo Propuesto
- 4 SIMULACIONES NUMÉRICAS
- 5 Bibliografía del tema

El artículo titulado "Local Analysis of the Prey-Predator Model with Stage-Structure Prey and Holling Type Functional Responses" por Dian Savitri analiza el modelo presa-depredador utilizando respuestas funcionales de Holling de tipo II para presas adultas y tipo I para presas jóvenes.

OBJETIVOS

- Analizar los resultados del artículo
- Determinar los puntos de equilibrio del modelo.
- Analizar la estabilidad local de los puntos de equilibrio utilizando la matriz jacobiana y valores propios.
- Observar el comportamiento dinámico del modelo mediante simulaciones numéricas.

TÉCNICAS UTILIZADAS

- Análisis matemático para determinar los puntos de equilibrio y condiciones de estabilidad.
- Cálculo de la matriz jacobiana y valores propios en cada punto de equilibrio.
- Aplicación del Criterio de Routh-Hurwitz para analizar la estabilidad del equilibrio interior.
- Simulaciones numéricas utilizando el método Runge-Kutta de cuarto orden.
- Análisis de bifurcación para estudiar la posible existencia de ciclos límite.



Modelo Propuesto

El artículo analiza previamente tres modelos matemáticos que abordan las interacciones presa-depredador con diferentes enfoques. Se definen x(t), y(t) y z(t) como la densidad de la población de presas jóvenes, presas adultas y depredadores respectivamente.

Modelo Propuesto

Modelo Matemático

$$\frac{dx}{dt} = rx \left(1 - \frac{x}{k} \right) - \beta x - \alpha xz$$

$$\frac{dy}{dt} = \beta x - \frac{\eta yz}{y+m} - \mu y$$

$$\frac{dz}{dt} = \alpha_1 xz + \rho z^2 - \frac{\eta_1 z^2}{y+m}$$
(1)

Respuestas funcionales de Holling

HOLLING TIPO I

Expresa la existencia de un aumento lineal en la tasa de captura del depredador con respecto a la densidad de presas, hasta alcanzar el valor en el que la tasa máxima de depredación permanece constante. Esta respuesta funcional es una función continua por partes, con una sección lineal y una sección constante.

HOLLING TIPO II

Expresa un aumento en el consumo que se desacelera a medida que aumentan las presas consumidas, alcanzando la tasa máxima de consumo de depredadores de forma asintótica. La respuesta funcional de Holling tipo II es monotóna creciente, lo que significa que la tasa de consumo de los depredadores aumenta con la densidad de presas.

Los puntos de equilibrio estan dados por aquellos que satisfagan la igualdad:

$$\frac{dx}{dt} = \frac{dy}{dt} = \frac{dz}{dt} = 0$$

♠ Postulados

Haciendo los cálculos pertinentes se obtienen como resultado los siguientes valores. $E_1=(0,0,0),\ E_2=(\frac{k(r-\beta)}{r},\frac{\beta k(r-\beta)}{\mu r},0)$ y $E_3=(x^*,y^*,z^*).$

Matriz Jacobiana

$$J(x,y,z) = \begin{bmatrix} r - \frac{2rx}{k} - \beta - \alpha z & 0 & -\alpha x \\ \beta & -\frac{\eta z}{y+m} + \frac{\eta yz}{(y+m)^2} - \mu & -\frac{\eta y}{y+m} \\ \alpha_1 z & \frac{\eta_1 z^2}{(y+m)^2} & 2\rho z - \frac{2\eta_1 z}{y+m} + \alpha_1 x \end{bmatrix}$$

$$\begin{vmatrix} r-\beta-\lambda & 0 & 0 \\ \beta & -\mu-\lambda & 0 \\ 0 & 0 & 0-\lambda \end{vmatrix} = (r-\beta-\lambda)(\mu-\lambda)(\lambda) = 0$$

Para el punto E_2 tenemos:

$$\begin{vmatrix} (\beta - r) - \lambda & 0 & \frac{\alpha k(\beta - r)}{\eta \beta k(\beta - r)} \\ \beta & -\mu - \lambda & \frac{\eta \beta k(\beta - r)}{r\mu \left(\frac{\beta k(r - \beta)}{\mu r} + m\right)} \\ 0 & 0 & -\frac{\alpha_1 k(\beta - r)}{r} - \lambda \end{vmatrix} = 0$$

Los valores propios de la matriz $J(E_2)$ son $\lambda_1=\beta-r$, $\lambda_2=-\mu$ y $\lambda_3=-\frac{\alpha_1k(\beta-r)}{r}$. El autor plantea que E_2 es estable bajo la condición $r>\beta$. Sin embargo, si $r>\beta$ entonces $-\frac{\alpha_1k(\beta-r)}{r}>0$ por lo que el punto de equilibrio E_2 es inestable.

Para E_3 tenemos la siguiente matriz jacobiana:

$$J(x^*, y^*, z^*) = \begin{bmatrix} r - \frac{2rx^*}{k} - \beta - \alpha z^* & 0 & -\alpha x^* \\ \beta & -\frac{\eta z^*}{y^* + m} + \frac{\eta y z^*}{(y^* + m)^2} - \mu & -\frac{\eta y^*}{y^* + m} \\ \alpha_1 z^* & \frac{\eta_1 z^{*2}}{(y^* + m)^2} & 2\rho z^* - \frac{2\eta_1 z^*}{y^* + m} + \alpha_1 x^* \end{bmatrix}$$

Puntos de Equilibrio	Estabilidad Local
$E_1 = (0,0,0)$	Inestable
$E_2 = (\frac{k(r-\beta)}{r}, \frac{\beta k(r-\beta)}{\mu r}, 0)$	Inestable
$E_3 = (x^*, y^*, z^*)$	Asintóticamente estable

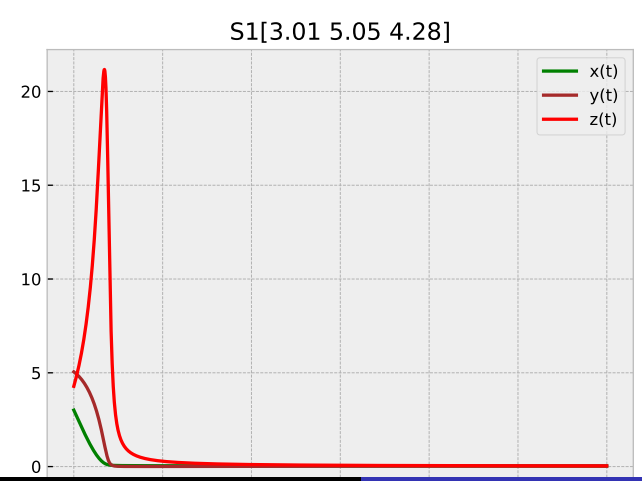
Puntos de Equilibrio y Estabilidad Local E3

Tabla con los tres valores



SIMULACIONES NUMÉRICAS

[b]0.5



Conclusiones

Se ha demostrado para el sistema

RECOMENDACIONES

Se puede extender los resultados a modelos...

Bibliografía



M. A. Fernández Sanjuán (2016). Dinámica No Lineal, Teoría del Caos y Sistemas Complejos: una perspectiva histórica. *Rev. R. Acad. Cienc. Exact. Fís .Nat.* **Vol**. 109, N. 1?2, pp. 107-126.